



**FCTUC** FACULDADE DE CIÊNCIAS  
E TECNOLOGIA  
UNIVERSIDADE DE COIMBRA

DEPARTAMENTO DE  
ENGENHARIA ELETROTÉCNICA E DE COMPUTADORES

VISÃO POR COMPUTADOR  
2016/2017

---

## Trabalho Prático n. 6

Estimação da matriz fundamental, da matriz essencial e reconstrução 3D

---

Autores:

Ivo Micael Frazão Costeira  
2013141479  
uc2013141479@student.uc.pt

Ricardo Manuel Teixeira Pereira  
2013153797  
uc2013153797@student.uc.pt

16 de Abril de 2017

# 1 Introdução

Este trabalho aborda a estimação das matrizes fundamental e essencial, para que seja possível determinar a localização 3D dos pontos capturados de cenas visuais em imagens 2D, com recurso a duas câmaras distintas que capturam a mesma cena. Para tal, é abordada a geometria epipolar, nomeadamente os pontos e retas epipolares, e o movimento relativo entre câmaras, permitindo assim compreender o método de estimação da localização 3D dos pontos.

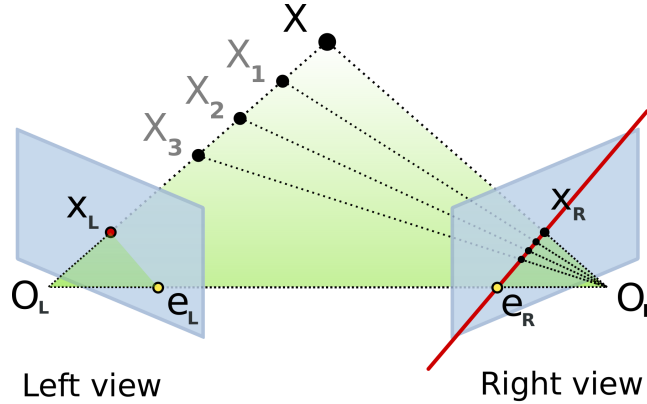


Figura 1: Geometria epipolar de um sistema genérico.

Considere-se duas câmaras colocadas em duas posições distintas. Sejam  $P_e$  e  $P_d$  as coordenadas de um ponto  $P$  (no espaço) nos referenciais respetivamente das câmaras esquerda e direita. Sejam  $p_e$  e  $p_d$  as coordenadas das imagens desse ponto nas câmaras esquerda e direita, respetivamente. Os sistemas de coordenadas associados a cada câmara estão relacionados entre si através de uma transformação de corpo rígido, a qual é definida por um vetor de translação  $T = (O_d - O_e)$  ( $T = (O_r - O_l)$ , segundo a notação da figura 1), sendo  $O_d$  e  $O_e$  os centros de projeção das câmaras direita e esquerda, respetivamente, e por uma matriz de rotação  $R$ . Assim, dado um ponto  $P$  no espaço 3D, a relação entre as coordenadas  $P_e$  e  $P_d$  é dada por

$$P_d = R(P_e - T) \quad (1)$$

A matriz fundamental formaliza as relações geométricas entre as imagens de um par de câmaras que "observa" uma mesma parte do espaço 3D. A geometria correspondente a essa configuração é geralmente designada por geometria epipolar. O plano definido pelo ponto 3D ( $P$ ) e pelos centros de projeção das câmaras esquerda ( $O_e$ ) e direita ( $O_d$ ) intersecta os planos-imagem das câmaras esquerda e direita em retas que são designadas por retas epipolares. Por outro lado, a reta definida pelos centros de projeção das câmaras intersecta os correspondentes planos-imagem em pontos que são designados por epipolos. Assim, o epipolo esquerdo é a imagem do centro de projeção da câmara direita e vice-versa. A geometria epipolar é assim a geometria de projeção intrínseca entre duas visualizações, por ser independente da estrutura da cena e depender apenas dos parâmetros intrínsecos e posição relativa das câmaras.

## 1.1 Matriz Essencial

Os vetores  $P_e$ ,  $T$  e  $P_e - T$  estão contidos num plano, como se pode ver pela representação na figura 1, que é o plano epipolar. Estes três vetores são definidos no sistema de coordenadas da câmara

esquerda. Pelo facto de pertencerem ao mesmo plano verificam/satisfazem a seguinte equação

$$(P_e - T)^T(T \times P_e) = 0 \quad (2)$$

Por outro lado, da equação (1) resulta que

$$P_e - T = R^T P_d \quad (3)$$

que, ao substituir na equação (2), permite obter

$$(R^T P_d)^T(T \times P_e) = 0 \quad (4)$$

Por outro lado, o produto vetorial pode ser expresso algebricamente por meio de um produto de uma matriz antissimétrica (composta pelos elementos de um dos vetores) pelo outro vetor, ou seja:

$$T \times P_e = S P_e \quad (5)$$

onde  $S$  é dado por

$$S = \begin{bmatrix} 0 & -T_z & T_y \\ T_z & 0 & -T_x \\ -T_y & T_x & 0 \end{bmatrix} \quad (6)$$

Consequentemente, a equação (4) pode ser reescrita da seguinte forma

$$P_d^T E P_e = 0 \quad (7)$$

onde  $E = RS$ .

Por outro lado, podemos substituir nesta equação  $P_d$  por  $p_d$  e  $P_e$  por  $p_e$  pois  $p_e = \frac{f_e}{Z_e} P_e$  e  $p_d = \frac{f_d}{Z_d} P_d$  em que  $p_e = \begin{bmatrix} x_e & y_e & f_e \end{bmatrix}^T$  e  $p_d = \begin{bmatrix} x_d & y_d & f_d \end{bmatrix}^T$  onde  $f_e$  e  $f_d$  são respetivamente as distâncias focais da câmara esquerda e direita. Assim, pode escrever-se

$$p_d^T E p_e = 0 \quad (8)$$

A matriz  $E$  é designada por matriz essencial e tem característica 2. De notar que nesta equação as coordenadas dos pontos nas imagens não são expressas em pixels mas sim numa unidade métrica qualquer ( $mm$ , por exemplo). Se interpretarmos as coordenadas dos pontos nas imagens projetivamente, então,  $u_d$ , dado por

$$u_d = E p_e \quad (9)$$

representa as coordenadas de uma reta na imagem direita. Esta reta é a reta epipolar correspondente ao ponto  $p_e$  da imagem esquerda. Esta reta epipolar contém o ponto  $p_d$  (na imagem direita). A reta epipolar passa também pelo epipolo na imagem direita.

## 1.2 Matriz Fundamental

Sejam  $K_e$  e  $K_d$  as matrizes dos parâmetros intrínsecos das câmaras esquerda e direita, respetivamente. As coordenadas dos pontos  $p_e$  e  $p_d$  em pixels são então dadas por:

$$\hat{p}_e = K_e p_e \quad (10a)$$

$$\hat{p}_d = K_d p_d \quad (10b)$$

de onde se tira que,

$$p_e = K_e^{-1} \hat{p}_e \quad (11a)$$

$$p_d = K_d^{-1} \hat{p}_d \quad (11b)$$

que, substituindo na equação (8),

$$\hat{p}_d^T F \hat{p}_e = 0 \quad (12)$$

onde

$$F = K_d^{-1} E K_e^{-1} \Leftrightarrow E = K_d F K_e \quad (13)$$

A matriz  $F$  é designada por matriz fundamental. Tal como no caso da matriz essencial,

$$\hat{u}_d = F \hat{p}_e \quad (14)$$

representa a reta epipolar na imagem direita correspondente ao ponto  $\hat{p}_e$ . Note-se que, neste caso, as coordenadas dos pontos nas imagens são em pixels. A matriz fundamental, tal como a essencial, tem característica 2.

### 1.2.1 Estimação da Matriz Fundamental: Algoritmo dos 8 pontos

Considere-se um conjunto de pontos correspondentes nas imagens esquerda e direita. Cada par de pontos correspondentes satisfaz a equação (12). A matriz  $F$  é uma matriz  $3 \times 3$ , logo temos 9 incógnitas. No entanto, a equação (12) é uma equação homogénea o que faz com que possa ser multiplicada por uma constante qualquer diferente de zero. Consequentemente a matriz  $F$  é definida a menos de um fator de escala. Esse grau de liberdade reduz-nos o número de incógnitas a 8. Assim se tivermos 8 ou mais pares de pontos correspondentes nas imagens esquerda e direita podemos estimar a matriz  $F$  (cada par de pontos permite definir uma equação que tem como incógnitas os elementos da matriz  $F$ ). No entanto é importante assegurar que os pontos usados não constituem uma configuração degenerada, por exemplo, pertencendo todos a um plano. Para estimar a matriz  $F$  no sentido dos mínimos quadrados, impondo a restrição de que a norma do vetor das incógnitas (os elementos da matriz  $F$ ) é unitária, pode usar-se a a decomposição em valores singulares.

Seja  $A$  a matriz do sistema de equações obtido a partir da equação (12)

$$\begin{aligned} \hat{p}_d^T F \hat{p}_e = 0 \Leftrightarrow \begin{bmatrix} \hat{x}_d & \hat{y}_d & 1 \end{bmatrix} \begin{bmatrix} f_1 & f_2 & f_3 \\ f_4 & f_5 & f_6 \\ f_7 & f_8 & f_9 \end{bmatrix} \begin{bmatrix} \hat{x}_e \\ \hat{y}_e \\ 1 \end{bmatrix} = 0 \Leftrightarrow \\ \begin{bmatrix} \hat{x}_d \hat{x}_e & \hat{x}_d \hat{y}_e & \hat{x}_d & \hat{y}_d \hat{x}_e & \hat{y}_d \hat{y}_e & \hat{y}_d & \hat{x}_e & \hat{y}_e & 1 \end{bmatrix} \begin{bmatrix} f_1 \\ f_2 \\ f_3 \\ f_4 \\ f_5 \\ f_6 \\ f_7 \\ f_8 \\ f_9 \end{bmatrix} = 0 \end{aligned} \quad (15)$$

A decomposição em valores singulares da matriz  $A$  dá

$$A = UDV^T \quad (16)$$

As matrizes  $U$  e  $V$  resultantes da decomposição são matrizes ortogonais e a matriz  $D$  contém na sua diagonal os valores singulares de  $A$ . A solução do sistema de equações é dada pela coluna da matriz  $V$  correspondente ao único valor singular nulo da matriz  $A$ . Na prática, devido ao ruído, a matriz  $A$  tem característica 9 ou seja, nenhum valor singular é nulo, pelo que a solução é então a coluna da matriz  $V$  correspondente ao menor valor singular da matriz  $A$ . A matriz  $F$  que resulta deste processo de estimação deveria ter característica 2. No entanto devido ao ruído e às imprecisões no processo de estimação só raramente a matriz  $F$  tem característica 2, sendo necessário impor essa condição. Para isso faz-se a decomposição em valores singulares da matriz  $F$  e substitui-se então a matriz  $D$  por uma nova matriz  $D'$  que é igual à matriz  $D$  com exceção do menor valor singular que se faz igual a 0, recalculando-se então a matriz  $F$ , agora com característica 2.

Um elemento muito importante para uma boa estimação da matriz  $F$  é a normalização dos dados. A normalização tem como objetivo tornar o problema mais bem condicionado do ponto de vista numérico, pois sem normalização os elementos da matriz  $A$  terão grandes variações. Interessa diminuir o intervalo de variações possíveis nos elementos da matriz  $A$ , que dependem das coordenadas dos pixels. Para isso faz-se uma translação e uma mudança do fator de escala de cada uma das imagens de modo a que a origem do sistema de coordenadas se situe no centro de massa dos pixels usados na estimação da matriz  $F$  e também de modo a que a distância média quadrática dos pixels à origem seja de 1. Consideremos os pontos  $\hat{p}_i$  de uma imagem com coordenadas  $\hat{p}_i = \begin{bmatrix} x_i & y_i & 1 \end{bmatrix}^T$ , em que  $i = 1, \dots, n$ . O centro de massa tem então coordenadas  $\bar{x} = \frac{1}{n} \cdot \sum_i x_i$  e  $\bar{y} = \frac{1}{n} \cdot \sum_i y_i$ . Seja

$$\bar{d} = \frac{\sum_i \sqrt{(x_i - \bar{x})^2 + (y_i - \bar{y})^2}}{n\sqrt{2}} \quad (17)$$

Com os valores de  $\bar{x}$ ,  $\bar{y}$  e de  $\bar{d}$  para cada uma das imagens constroem-se duas matrizes,  $T_e$  e  $T_d$ , que permitem obter as coordenadas normalizadas nas duas imagens por meio de

$$\hat{p}'_e = T_e \hat{p}_e \quad (18a)$$

$$\hat{p}'_d = T_d \hat{p}_d \quad (18b)$$

A estimação da matriz  $F$  faz-se então com estas coordenadas. A matriz resultante deste processo de estimação é a matriz  $\hat{F}$  que é dada por

$$\hat{F} = T_d^{-T} F T_e^{-1} \quad (19)$$

Estimada a matriz  $\hat{F}$  obtém-se a matriz  $F$  através de

$$F = T_d^T \hat{F} T_e \quad (20)$$

**Algoritmo** Considerem-se  $n$  pontos correspondentes (nas imagens esquerda e direita) com  $n \geq 8$ . Marque os pontos correspondentes à mão ou então determine-os automaticamente primeiro e estabeleça as correspondências à mão. Atenção: os pontos não devem ser todos coplanares.

1. Normalizar as coordenadas dos pontos correspondentes, nas duas imagens usando  $\hat{p}'_e = T_e \hat{p}_e$  e  $\hat{p}'_d = T_d \hat{p}_d$

2. Construir o sistema de equações homogêneo definido pela equação (12). Seja  $A$  a matriz  $n \times 9$  do sistema e  $A = UDV^T$  a sua decomposição em valores singulares.
3. Os elementos da matriz  $\hat{F}$  (a menos de um fator de escala) são dados pelos elementos da coluna da matriz  $V$  correspondentes ao menor valor singular de  $A$ .
4. Para impor a restrição da característica da matriz  $\hat{F}$  decompõe-se a matriz  $\hat{F}$  em valores singulares,  $\hat{F} = \hat{U}\hat{D}\hat{V}^T$ .
5. Coloca-se o menor valor singular na matriz  $\hat{D}$  a zero e faz-se a matriz  $D'$  igual a essa matriz.
6. Calcula-se novamente a matriz fundamental usando  $F' = UD'V^T$
7. "Desnormalização": a matriz fundamental  $F$  é então obtida através de  $F = T_d^T F' T_e$ .

### 1.3 Estimação dos Epipolos

O epipolo na imagem esquerda  $\hat{e}_e$  pertence a todas as retas epipolares. Assim, qualquer que seja  $\hat{p}_d$  obtém-se

$$\hat{p}_d^T F \hat{e}_e = 0 \quad (21)$$

o que significa que

$$F \hat{e}_e = 0 \quad (22)$$

Como a matriz  $F$  tem característica 2 (sendo uma matriz  $3 \times 3$ ), conclui-se que o epipolo esquerdo  $\hat{e}_e$  corresponde ao espaço nulo direito da matriz  $F$ . Por outro lado o epipolo direito  $\hat{e}_d$  corresponde ao espaço nulo direito da matriz  $F^T$ . Consequentemente para se determinar os dois epipolos estimam-se os espaços nulos direitos das matrizes  $F$  e  $F^T$ .

**Algoritmo para estimar a localização dos epipolos** Dada a matriz fundamental  $F$ ,

1. Decompõe-se a matriz  $F$  em valores singulares,  $F = UDV^T$
2. O epipolo  $\hat{e}_e$  é dado pela coluna da matriz  $V$  correspondente ao valor singular nulo da matriz  $F$ .
3. O epipolo  $\hat{e}_d$  é dado pela coluna da matriz  $U$  correspondente ao valor singular nulo da matriz  $F$ .

### 1.4 Reconstrução 3D

A matriz essencial,  $E$ , definida como  $E = RS$ , contém informações sobre a pose entre as duas câmaras utilizadas para a captação das imagens, nomeadamente a posição relativa (matriz antissimétrica  $S$ , correspondente à translação  $T$ ) e a orientação (matriz de rotação  $R$ ) entre estas. O processo de recuperação dessas informações a partir da matriz essencial é um processo necessário para a reconstrução 3D dos pontos capturados.

Seja  $W$  a matriz de rotação no eixo  $Z$  por  $\frac{\pi}{2}$ ,

$$W = R_Z \left( \frac{\pi}{2} \right) = \begin{bmatrix} \cos \frac{\pi}{2} & -\sin \frac{\pi}{2} & 0 \\ \sin \frac{\pi}{2} & \cos \frac{\pi}{2} & 0 \\ 0 & 0 & 1 \end{bmatrix} = \begin{bmatrix} 0 & -1 & 0 \\ 1 & 0 & 0 \\ 0 & 0 & 1 \end{bmatrix} \quad (23)$$

e  $U$ ,  $\Sigma$  e  $V$  as matrizes ortogonais resultantes da decomposição em valores singulares da matriz  $E$ .

Dada uma matriz essencial,  $E$ , não nula, existem duas poses possíveis correspondentes

$$(S_1, R_1) = (UW\Sigma U^T, UW^T V^T) \quad (24a)$$

$$(S_2, R_2) = (UW^T \Sigma U^T, UW V^T) \quad (24b)$$

sendo que devemos escolher a que permite obter os pontos reconstruídos visíveis a ambas as câmaras, ou seja, os pontos terem profundidade (coordenada  $z$ ) positiva.

O sinal da matriz essencial  $E$  é arbitrário, mesmo após normalização, logo as projeções podem operar sobre  $+E$  ou sobre  $-E$ . Como podemos recuperar duas poses possíveis de uma matriz  $E$ , podemos recuperar até quatro soluções possíveis de  $\pm E$ , que são

$$(S_1, R_1) = (UW\Sigma U^T, UW V^T) \quad (25a)$$

$$(S_2, R_2) = (UW\Sigma U^T, UW^T V^T) \quad (25b)$$

$$(S_3, R_3) = (UW^T \Sigma U^T, UW V^T) \quad (25c)$$

$$(S_4, R_4) = (UW^T \Sigma U^T, UW^T V^T) \quad (25d)$$

$$E = U\Sigma V = \begin{bmatrix} u_1 & u_2 & u_3 \end{bmatrix} \begin{bmatrix} \sigma & 0 & 0 \\ 0 & \sigma & 0 \\ 0 & 0 & 0 \end{bmatrix} \begin{bmatrix} v_1 \\ v_2 \\ v_3 \end{bmatrix} \Rightarrow u_3 E = 0 \quad (26)$$

Pelo método de decomposição em valores singulares da matriz essencial, podemos ainda considerar que a translação entre as câmaras pode ser dada pela terceira coluna da matriz  $U$ ,  $u_3$ , pois esta corresponde ao valor singular nulo da matriz  $E$ , como se verificar pela equação em (26), logo temos que

$$(t_1, R_1) = (u_3, UW V^T) \quad (27a)$$

$$(t_2, R_2) = (-u_3, UW^T V^T) \quad (27b)$$

$$(t_3, R_3) = (u_3, UW V^T) \quad (27c)$$

$$(t_4, R_4) = (-u_3, UW^T V^T) \quad (27d)$$

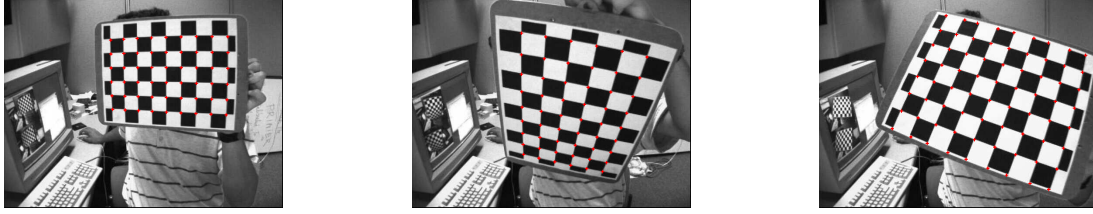
Descoberta a pose relativa das câmaras, podemos determinar a posição 3D dos pontos correspondentes através de vários métodos, sendo que o aplicado neste trabalho é o de triangulação fornecido pelo MATLAB, pelo que não o iremos explicar teoricamente aqui.

## 2 Implementação

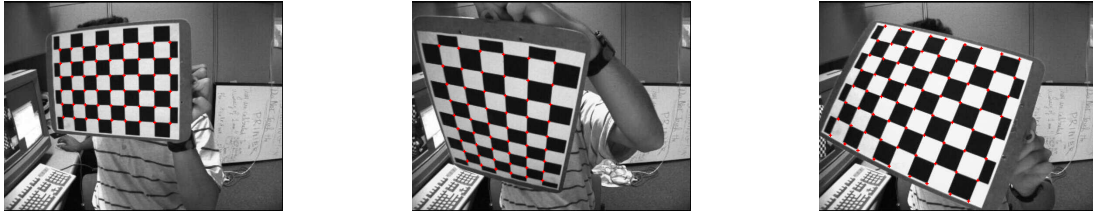
Ao experimentar nos computadores dos dois elementos do grupo, reparámos que o problema do determinante das matrizes  $U$  e  $V$  da decomposição em valores singulares da matriz essencial na parte 2 deste trabalho não dar sempre  $+1$  não ocorria de igual forma, ou seja, nas duas máquinas, exatamente o mesmo código origina valores diferentes. Como a função `plotCamera()` recebe a matriz de rotação  $R$  e espera que esta tenha determinante 1, quando os determinantes de  $U$  e  $V$  são simétricos entre si, o determinante de  $R$  é  $-1$ , provocando um erro na execução do código. Então, criámos dois ficheiros de MATLAB, um com esses *plots* que corre numa das máquinas do grupo e outro sem esses *plots* para permitir correr nas máquinas em que esse problema se levante.

## 2.1 Parte 1

Para podermos estimar a matriz fundamental através do algoritmo dos 8 pontos, começámos por ler as seis imagens fornecidas para este trabalho e detetar o padrão de xadrez presente nestas através da função `detectCheckerboardPoints()` do MATLAB, obtendo os pontos representados nas figuras 2. A partir desses pontos, realizámos manualmente as correspondências, gerando um único vetor com todos os pontos correspondidos dos três pares de imagens que tínhamos.



(a) 1ª imagem - câmara esquerda. (b) 2ª imagem - câmara esquerda. (c) 3ª imagem - câmara esquerda.



(d) 1ª imagem - câmara direita. (e) 2ª imagem - câmara direita. (f) 3ª imagem - câmara direita.

Figura 2: Pontos de xadrez detetados pela função `detectCheckerboardPoints()` às imagens fornecidas para o trabalho, em que cada imagem foi obtida através de duas câmaras diferentes, distinguidas por esquerda e direita.

A partir dos vetores de pontos correspondentes, pretendemos calcular a matriz fundamental,  $F$ . Como apenas necessitamos de oito pontos através deste algoritmo, iremos estimar a matriz fundamental no sentido dos mínimos quadrados, pelo que criámos a matriz  $A$  com os pontos dos três conjuntos de imagens, assegurando assim que não obtínhamos uma configuração degenerada. Fazendo a decomposição em valores singulares da matriz  $A$ , sabemos que a solução pretendida é dada pela coluna da matriz  $V$  correspondente ao menor valor singular da matriz  $A$ , que, dada a ordenação decrescente dos valores singulares do MATLAB, sabemos ser a nona coluna. A matriz  $F$  corresponde à ordenação dos valores dessa coluna numa matriz, devendo ter característica 2, que, na prática, é quase impossível de obter, pelo que é necessário impor essa condição. Para tal, realizámos a decomposição em valores singulares da matriz  $F$ , forçando o menor valor singular presente da matriz  $D$  resultante a ter o valor 0, reconstruindo novamente a matriz  $F$ . Decidimos ainda normalizar esta matriz para podermos comparar melhor com a matriz  $F$  resultante da função `estimateFundamentalMatrix()` numa etapa futura deste trabalho. A matriz que obtivemos é a indicada em (28).

$$F = \begin{bmatrix} -0.0000 & -0.0000 & 0.0019 \\ -0.0000 & 0.0000 & 0.0307 \\ 0.0005 & -0.0281 & -0.9991 \end{bmatrix} \quad (28)$$

Com a estimação da matriz fundamental concluída, pudemos, então, estimar a localização dos epipolos de cada imagem, sabendo que o epipolo esquerdo é dado pela coluna da matriz  $V$  da decomposição em valores singulares da matriz fundamental correspondente ao valor singular nulo desta e



que o epipolo direito é dado pela coluna da matriz  $U$  correspondente ao valor singular nulo da mesma. Na prática, bastou considerar as últimas colunas das matrizes  $V$  e  $U$ . Com o ponto epipolar estimado, pudemos ainda representar as retas epipolares em cada imagem, tal como se pode visualizar na figura 3.

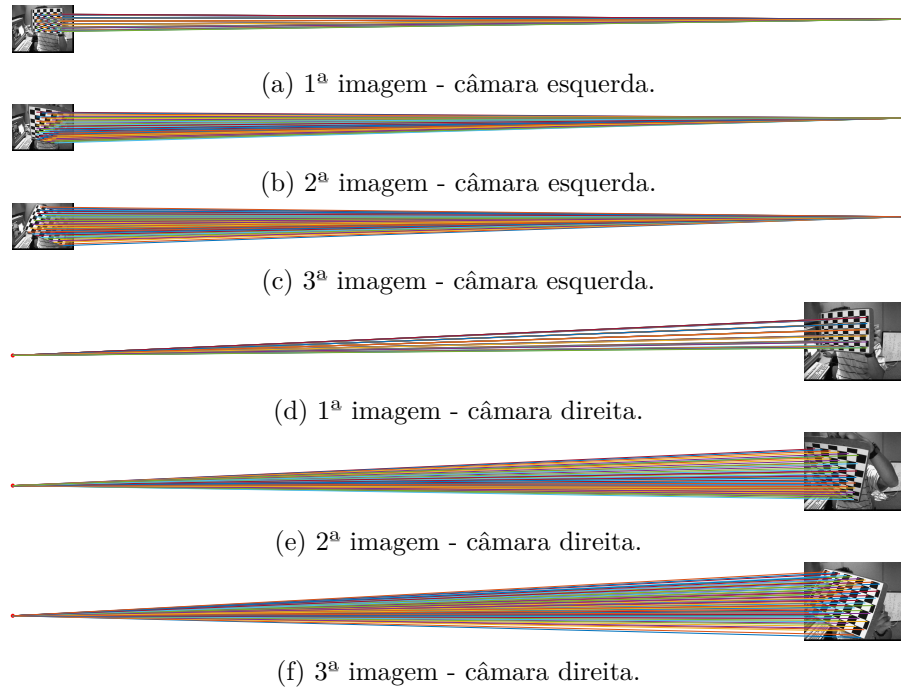


Figura 3: Epipolos e retas epipolares calculadas através do algoritmo dos 8 pontos implementado manualmente.

De seguida, estimámos a matriz fundamental através da função `estimateFundamentalMatrix()` do MATLAB, obtendo a matriz representada em (29). Comparando este com a obtida pela nossa implementação, verificamos que os valores apresentados são idênticos numericamente, sendo apenas simétricos. Esta simetria numérica provocou alguns problemas na parte 2 do trabalho, nomeadamente no uso da matriz de rotação recuperada,  $R$ , pelo que utilizámos a matriz  $F$  estimada pelo MATLAB daí em diante. Contudo, ao realizar uma pesquisa pela bibliografia recomendada, reparámos que na nota 5.10 do livro [1] é referido que o método por decomposição em valores singulares assume que as matrizes  $U$  e  $V$  resultantes têm determinante positivo e que nem sempre é o caso, tal como nos aconteceu, em que o determinante de  $U$  da matriz  $F^1$  é -1 e de  $V$  é 1. Como o sinal da matriz é aleatório, a utilização da matriz estimada pelo MATLAB não oferece qualquer problema.

Para permitir comparar visualmente as duas soluções, representámos os epipolos[2] e as retas epipolares[3] correspondentes seguindo os exemplos disponibilizados pela *Math Works*, tal como se pode visualizar na figura 4. Comparando os dois resultados, podemos verificar que estes são idênticos, o que já seria expectável pela comparação numérica das duas matrizes obtidas.

<sup>1</sup>Tendo em conta que  $F$  e  $E$  estão relacionadas entre si pelas matrizes dos parâmetros intrínsecos das câmaras que capturaram as imagens, assumimos que a explicação para a matriz essencial se aplique à matriz fundamental, que foi onde reparámos no problema inicialmente.

$$F = \begin{bmatrix} 0.0000 & 0.0000 & -0.0019 \\ 0.0000 & -0.0000 & -0.0307 \\ -0.0005 & 0.0281 & 0.9991 \end{bmatrix} \quad (29)$$

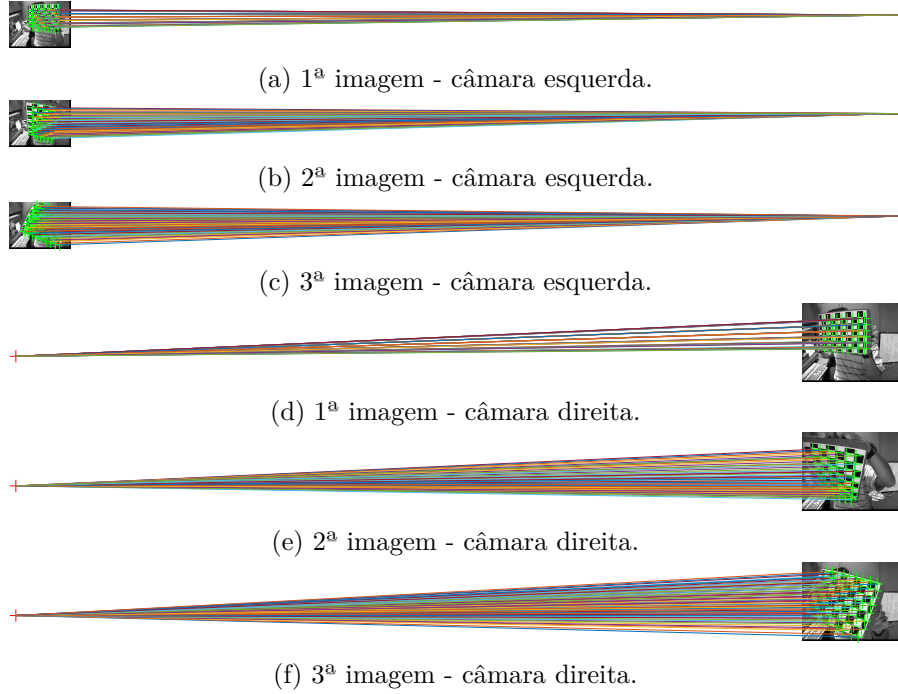


Figura 4: Epipolos e retas epipolares calculadas após estimação da matriz fundamental através da função do MATLAB indicada.

## 2.2 Parte 2

Para a reconstrução 3D dos pontos, decidimos aplicar a função `triangulate()` do MATLAB, segundo o exemplo fornecido pela *MathWorks*[4]. Para tal, necessitámos de calcular os parâmetros estéreo das câmaras. Através das matrizes dos parâmetros intrínsecos das duas câmaras utilizadas, pudemos determinar a matriz essencial,  $E$ , aplicando a equação (13). Para garantir que  $E$  tinha um valor singular a 0 e os outros iguais (sendo o valor indiferente, pois serão calculados a menos de um fator de escala), forçámos a matriz  $D$  da decomposição em valores singulares de  $E$  a ter os dois primeiros valores singulares unitários e o último a zero, reconstruindo, de seguida, a matriz  $E$ . Através desta matriz, pudemos calcular as matrizes de rotação e translação entre as duas câmaras para as quatro soluções possíveis, aplicando o método dado na aula teórica e pelo método descrito no capítulo 5 do livro [1], que diferem no cálculo da matriz translação. Comparando os dois métodos, verificamos que obtemos exatamente os mesmos valores de translação, após termos obrigado os valores próprios iguais a serem 1 (antes os valores diferiam por um fator de escala idêntico aos valores próprios de  $E$  anteriores).

Para a construção da estrutura dos parâmetros estéreo da câmara, necessitámos de criar as estruturas dos parâmetros de cada câmara, através da função `cameraParameters()`, que provocou alguns problemas na reconstrução, pois o MATLAB espera que as matrizes dos parâmetros intrínsecos sejam

triangulares inferiores e as fornecidas são triangulares superiores[5]. Após obtermos as estruturas dos parâmetros de cada câmara e as matrizes de rotação e translação, construímos os parâmetros estéreo das câmaras, permitindo assim utilizar o método de triangulação do MATLAB. Para a escolha da solução entre as quatro possíveis, pretendíamos que a solução tivesse os pontos à frente de ambas as câmaras. Para tal, aplicámos as quatro soluções e por desenho das poses das câmaras, através da função `plotCamera()`, verificámos que apenas a solução com

$$P_d = [UWV^T | -\bar{u}_3] \quad (30)$$

permitia os resultados pretendidos, tal como se pode verificar através da figura 5.

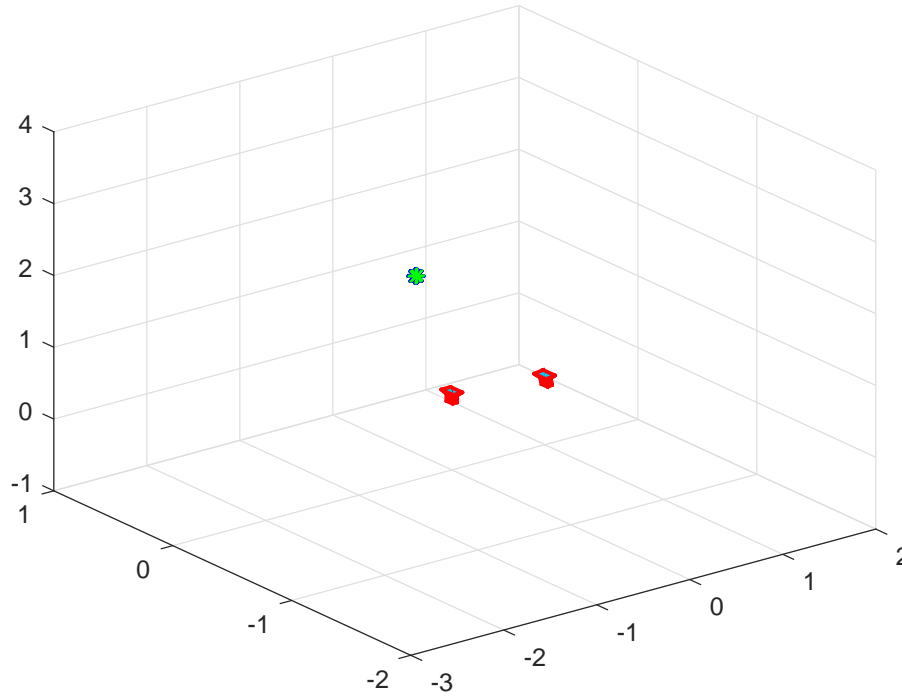


Figura 5: Reconstrução 3D dos pontos do xadrez através da função `triangulate()`, incluindo o desenho da pose da câmara.

Como a imagem 5 não permitia visualizar corretamente a reconstrução dos pontos, removemos o desenho das câmaras e obtivemos a figura 6. Os pontos apresentam-se bem reconstruídos, apesar de não serem coplanares, como suposto. A não coplanaridade dos pontos deve-se ao facto de não se ter removida a distorção provocada pelas câmaras nas imagens, que poderia ter sido removida através da função `undistortImage()`[6], contudo o tempo disponível para este e os restantes trabalhos a realizar pelo grupo não permitiu implementar esta funcionalidade corretamente, pelo que decidimos manter a versão sem a remoção dessa distorção.

## Referências

- [1] Y. Ma et al. *An Invitation to 3-D Vision - From Images to Geometric Models*. Inglês. Ed. por Springer Science+Business Media LLC. 2004. Cap. 5. Reconstruction from Two Calibrated Views, pp. 109–170.

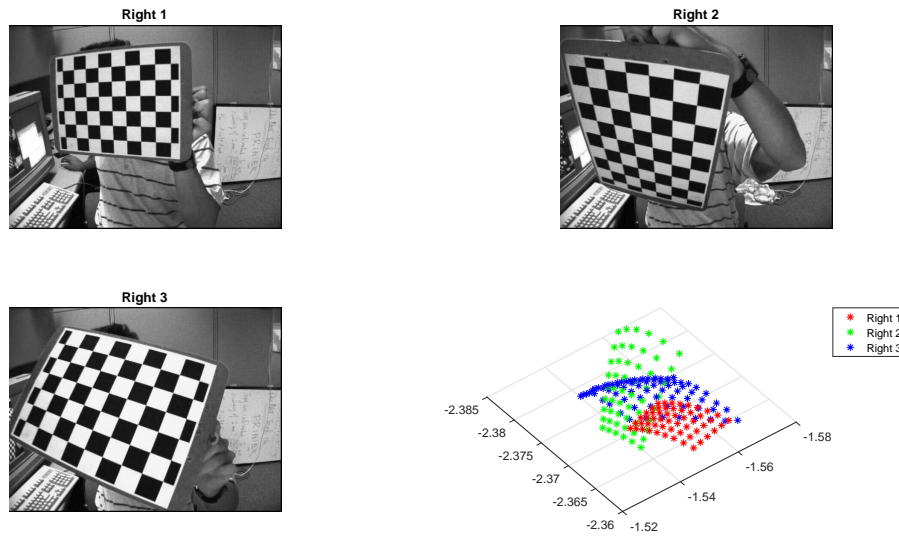


Figura 6: Reconstrução 3D dos pontos do xadrez através da função `triangulate()` e imagens utilizadas para comparação.

- [2] MathWorks. *Determine whether image contains epipole*. Inglês. URL: <https://www.mathworks.com/help/vision/ref/isepipoleinimage.html> (acedido em 14/04/2017).
- [3] MathWorks. *Compute epipolar lines for stereo images*. Inglês. URL: <https://www.mathworks.com/help/vision/ref/epipolarline.html> (acedido em 14/04/2017).
- [4] MathWorks. *3-D locations of undistorted matching points in stereo images*. Inglês. URL: [https://www.mathworks.com/help/vision/ref/triangulate.html?s\\_tid=srchtitle](https://www.mathworks.com/help/vision/ref/triangulate.html?s_tid=srchtitle) (acedido em 14/04/2017).
- [5] MathWorks. *Object for storing camera parameters*. Inglês. URL: [https://www.mathworks.com/help/vision/ref/cameraparameters-class.html?s\\_tid=srchtitle](https://www.mathworks.com/help/vision/ref/cameraparameters-class.html?s_tid=srchtitle) (acedido em 14/04/2017).
- [6] MathWorks. *Correct image for lens distortion*. Inglês. URL: <https://www.mathworks.com/help/vision/ref/undistortimage.html> (acedido em 14/04/2017).